

INF2310 – Digital bildebehandling

FORELESNING 16

REPETISJON – DEL I

Andreas Kleppe

Filtrering i bildedomenet
2D diskret Fourier-transform (2D DFT)
Kompresjon og koding
Morfologiske operasjoner på binære bilder

F16 28.05.2013

INF2310

1

2D-konvolusjons-eksempel

Oppgave: Konvolver følgende filter og bilde:

| | | |
|-----|-----|-----|
| 1/9 | 1/9 | 1/9 |
| 1/9 | 1/9 | 1/9 |
| 1/9 | 1/9 | 1/9 |

3x3-middelverdifilter

| | | | |
|---|---|---|---|
| 1 | 3 | 2 | 1 |
| 5 | 4 | 5 | 3 |
| 4 | 1 | 1 | 2 |
| 2 | 3 | 2 | 6 |

Inn-bilde f

Anta at bildet er 0 utenfor det definerte 4x4-området.

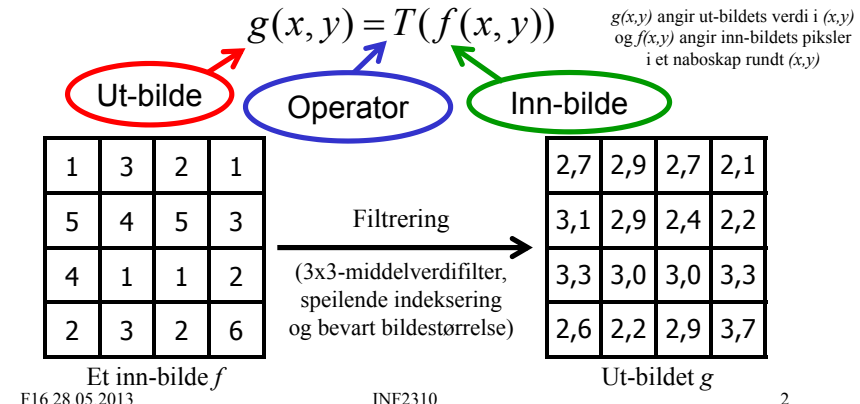
F16 28.05.2013

INF2310

3

Filtrering i bildedomenet

- Anvendelsen av en **operator** som beregner ut-bildets verdi i hvert piksel (x,y) ved bruk av inn-bildets piksler i et **naboskap** rundt (x,y) .



2D-konvolusjons-eksempel

Steg 1: Roter filteret 180 grader.

Ikke nødvendig her ettersom filteret er symmetrisk.

| | | |
|-----|-----|-----|
| 1/9 | 1/9 | 1/9 |
| 1/9 | 1/9 | 1/9 |
| 1/9 | 1/9 | 1/9 |

3x3-middelverdifilteret
er symmetrisk

F16 28.05.2013

INF2310

4

2D-konvolusjons-eksempel

Steg 2: Legg det roterte filteret over først posisjon der filteret og bildet overlapper.

| | | |
|-----|-----|---------------|
| 1/9 | 1/9 | 1/9 |
| 1/9 | 1/9 | 1/9 |
| 1/9 | 1/9 | $1 \cdot 1/9$ |
| 5 | 4 | 5 |
| 4 | 1 | 1 |
| 2 | 3 | 2 |

Inn-bilde f

F16 28.05.2013

INF2310

5

7

2D-konvolusjons-eksempel

Steg 3: Multipliser filterets vekter med verdiene av de overlappende pikslene i bildet.
Responsen er summen av produktene.

| | | |
|-----|-----|---------------|
| 1/9 | 1/9 | 1/9 |
| 1/9 | 1/9 | 1/9 |
| 1/9 | 1/9 | $1 \cdot 1/9$ |
| 5 | 4 | 5 |
| 4 | 1 | 1 |
| 2 | 3 | 2 |

Inn-bilde f

$$1 \cdot 1/9 = 1/9 \approx 0,1$$

F16 28.05.2013

INF2310

6

| | | | | |
|-----|--|--|--|--|
| 0,1 | | | | |
| | | | | |
| | | | | |
| | | | | |
| | | | | |

Foreløpig ut-bildet g

Foreløpig ut-bildet g

6

2D-konvolusjons-eksempel

Steg 4: Gjenta 3 for neste overlapp. Ikke flere: ferdig!

Steg 3: Multipliser filterets vekter med verdiene av de overlappende pikslene i bildet og summer.

| | | |
|-----|---------------|---------------|
| 1/9 | 1/9 | 1/9 |
| 1/9 | 1/9 | 1/9 |
| 1/9 | $1 \cdot 1/9$ | $3 \cdot 1/9$ |
| 5 | 4 | 5 |
| 4 | 1 | 1 |
| 2 | 3 | 2 |

Inn-bilde f

$$1 \cdot 1/9 + 3 \cdot 1/9 = 4/9 \approx 0,4$$

| | | | | |
|-----|-----|--|--|--|
| 0,1 | 0,4 | | | |
| | | | | |
| | | | | |
| | | | | |
| | | | | |

Foreløpig ut-bildet g

F16 28.05.2013

INF2310

7

2D-konvolusjons-eksempel

... fjorten steg 3 senere:

Steg 3: Multipliser filterets vekter med verdiene av de overlappende pikslene i bildet og summer.

| | | | |
|---|---------------|---------------|---------------|
| 1 | $3 \cdot 1/9$ | $2 \cdot 1/9$ | $1 \cdot 1/9$ |
| 5 | $4 \cdot 1/9$ | $5 \cdot 1/9$ | $3 \cdot 1/9$ |
| 4 | $1 \cdot 1/9$ | $1 \cdot 1/9$ | $2 \cdot 1/9$ |
| 2 | 3 | 2 | 6 |

Inn-bilde f

$$3 \cdot 1/9 + 2 \cdot 1/9 + 1 \cdot 1/9 + 4 \cdot 1/9 + 5 \cdot 1/9 + 3 \cdot 1/9 + 1 \cdot 1/9 + 1 \cdot 1/9 + 2 \cdot 1/9 = 22/9 \approx 2,4$$

F16 28.05.2013

INF2310

8

| | | | | | |
|-----|-----|-----|-------|-----|-----|
| 0,1 | 0,4 | 0,7 | 0,7 | 0,3 | 0,1 |
| 0,7 | 1,4 | 2,2 | 2,0 | 1,2 | 0,4 |
| 1,1 | 2,0 | 2,9 | $2,4$ | | |
| | | | | | |
| | | | | | |

Foreløpig ut-bildet g

2D-konvolusjons-eksempel

... og etter tjue steg 3 til:

Steg 4: Gjenta 3 for neste overlapp. Ikke flere: **ferdig!**

Løsningen er:

$$\begin{array}{|c|c|c|} \hline 1/9 & 1/9 & 1/9 \\ \hline 1/9 & 1/9 & 1/9 \\ \hline 1/9 & 1/9 & 1/9 \\ \hline \end{array} * \begin{array}{|c|c|c|c|} \hline 1 & 3 & 2 & 1 \\ \hline 5 & 4 & 5 & 3 \\ \hline 4 & 1 & 1 & 2 \\ \hline 2 & 3 & 2 & 6 \\ \hline \end{array} = \begin{array}{|c|c|c|c|c|c|c|} \hline 0,1 & 0,4 & 0,7 & 0,7 & 0,3 & 0,1 \\ \hline 0,7 & 1,4 & 2,2 & 2,0 & 1,2 & 0,4 \\ \hline 1,1 & 2,0 & 2,9 & 2,4 & 1,6 & 0,7 \\ \hline 1,2 & 2,1 & 3,0 & 3,0 & 2,1 & 1,2 \\ \hline 0,7 & 1,1 & 1,4 & 1,7 & 1,2 & 0,9 \\ \hline 0,2 & 0,6 & 0,8 & 1,2 & 0,9 & 0,7 \\ \hline \end{array}$$

3x3-middelverdifilter Inn-bilde f Ut-bildet g

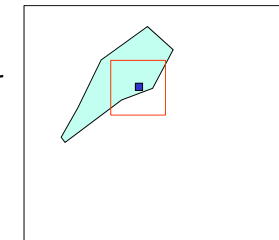
F16 28.05.2013

INF2310

9

Kant-bevarende støyfiltrering

- Ofte lavpassfiltrerer vi for å **fjerne støy**, men ønsker samtidig å **bevare kanter**.
- Det finnes et utall av «kantbevarende» filtre.
- Men det er et system:
 - Tenker at vi har flere piksel-populasjoner i naboskapet rundt (x,y) , f.eks. to:
 - Sub-optimalt å bruke all pikslene.
- Vi kan sortere pikslene:
 - Radiometrisk (etter pikselverdi)
 - Både geometrisk (etter pikselposisjon) og radiometrisk



F16 28.05.2013

INF2310

10

Middelverdi eller median?



Inn-bildet med tydelig salt-og-pepper-støy

Etter middelverdifiltrering

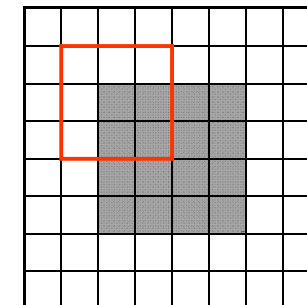
Etter medianfiltrering

F16 28.05.2013

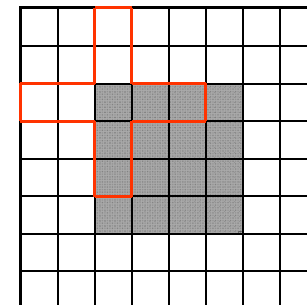
INF2310

11

Medianfiltrering og hjørner



Med kvadratisk naboskap
avrundes hjørnene



Med pluss-formet naboskap
bevares hjørnene

F16 28.05.2013

INF2310

12

Kant-bevarende støyfiltrering

- Trimmet middelverdifilter:
 - Alpha-trimmet middelverdifilter (radiometrisk sortering):
 $g(x,y) = \text{middelverdien av de } mn-d \text{ midterste verdiene}$
 (etter sortering) i $m \times n$ -naboskapet rundt (x,y) .
 - K Nearest Neighbour-filter (radiometrisk sortering):
 $g(x,y) = \text{middelverdien av de } K \text{ pikslene i naboskapet}$
 rundt (x,y) som ligner mest på (x,y) i pikselverdi.
 - K Nearest Connected Neighbour-filter (også geometrisk):
 K Nearest Neighbour-filter med uendelig stort naboskap
 og der de valgte pikslene er tilkoblet ut-posisjonen (x,y) .
 - Max-homogenitet-filter (også geometrisk):
 $g(x,y) = \text{middelverdien av det mest homogene sub-naboskapet.}$
 - Symmetrisk nærmeste nabo-filter (også geometrisk):
 $g(x,y) = \text{middelverdien av de mest lignende fra}$
 hvert symmetrisk piksel-par rundt (x,y) .
- MinimalMeanSquareError-filter: Nær middelverdien når lokal varians tilsvarer anslått støyvarians (en parameter), ellers nær uendret.

F16 28.05.2013

INF2310

13

Høypassfiltre

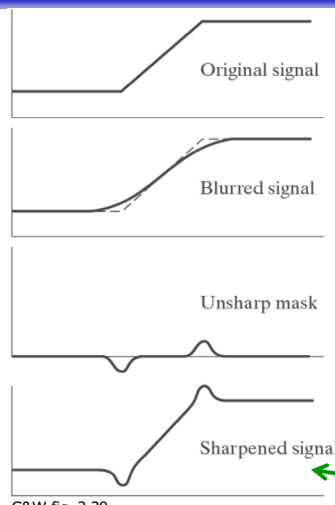
- Slipper gjennom høye frekvenser, og demper eller fjerner lave frekvenser.
 - Typisk fjernes den aller laveste frekvensen helt, d.v.s. at homogene områder får ut-verdi 0.
- Effekt:
 - Demper langsomme variasjoner, f.eks. bakgrunn.
 - Fremhever skarpe kanter, linjer og detaljer.
- Typiske mål: «Forbedre» skarpheten, detektere kanter.
- Q: Hva skjer med støy?

F16 28.05.2013

INF2310

14

Unsharp masking og highboost-filtrering



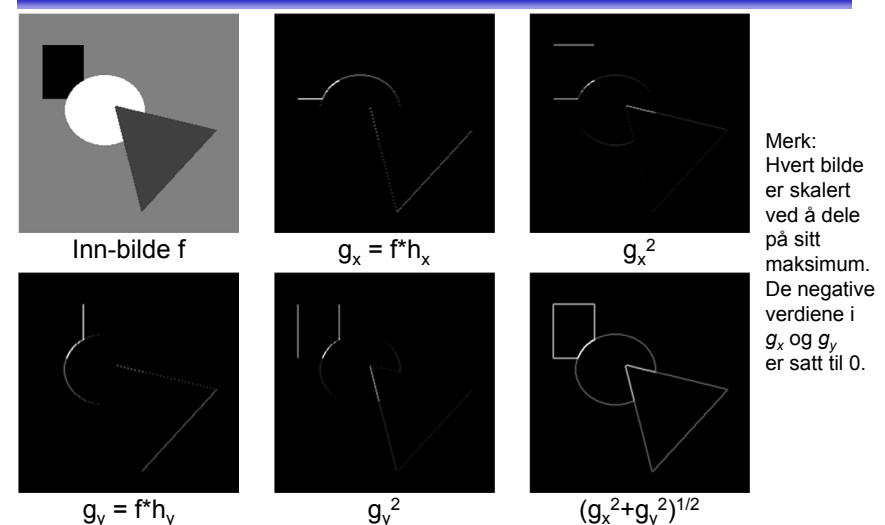
- Gitt et bilde (original):
 (til venstre: et 1D-bilde av en rampe)
- 1. Lavpassfiltrer.
 (til høyre er originalen stiplet)
- 2. Beregn differansen:
 $\text{original} - \text{filtrering}$
- 3. Resultatet er:
 $\text{original} + k \cdot \text{differansen}$
 - k er en positiv konstant.
 - Unsharp masking:** $k = 1$
 - Highboost-filtrering:** $k > 1$

F16 28.05.2013

INF2310

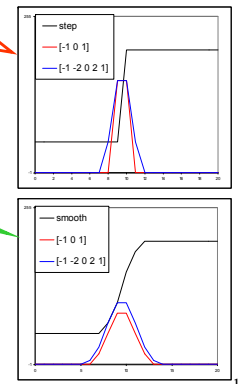
15

Eksempel: Gradient-beregning med Sobel-operatoren



Gradient til kant-deteksjon

- Gradient-magnituden har «bred respons», men vi ønsker eksakt, tynn kant.
- For en steg-kant:
 - Bredden på responsen er avhengig av størrelsen på filteret.
- For en bred kant (glattet med $[1 \ 2 \ 3 \ 2 \ 1]$):
 - Bredden på responsen er avhengig av bredden på kanten.

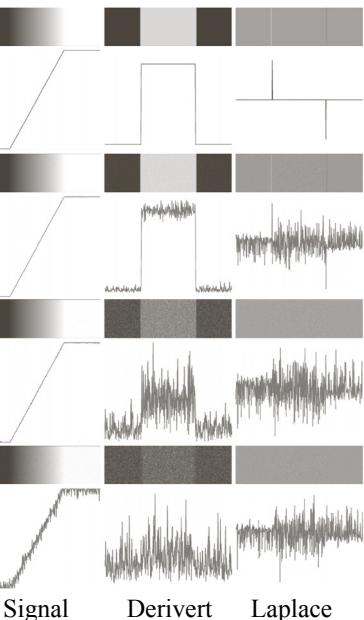


Maksimumet er likt og fornuftig lokalisert!

Bruke den andrederiverte til å finne maksimumene?

F16 28.05.2013

INF2310



F16 28.05.2013

Også lavpassfiltrere?

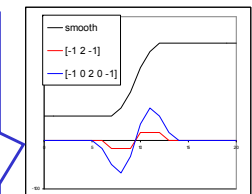
19

Laplace-operatoren

- Laplace-operatoren er gitt ved:

$$\nabla^2 f = \frac{\partial^2 f}{\partial x^2} + \frac{\partial^2 f}{\partial y^2}$$

- Den endrer fortegn der f et vendepunkt.
- $\nabla^2 f = 0$ markerer kant-posisjon.
- $|\nabla^2 f|$ har to ekstremverdier per kant; på starten og på slutten av kanten.
 - Derfor brukte vi den tidligere til å forbedre bildekarpheten!



- Kantens eksakte posisjon er **nullgjennomgangen**.
- Dette gir tynne kanter.
- Vi finner bare kant-posisjoner, ikke kant-retninger.

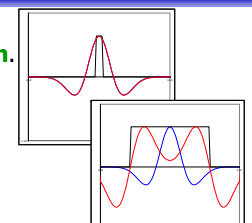
F16 28.05.2013

INF2310

Kantdeteksjon ved LoG-nullgjennomganger

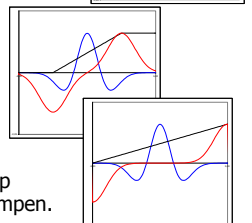
- Tommelfingerregel for strukturer:
LoG-kjernen må være smalere enn strukturen.

- Strukturen er mindre enn halvparten av LoG-kjernen
=> Nullgjennomgangene er utenfor kantskillene
- Strukturen er større enn halvparten av LoG-filteret
=> Nullgjennomgangene er nøyaktig kantskillene
- Et sted i mellom: Avhenger av diskretiseringen og tilnærmingen av LoG-filteret.



- Tommelfingerregel for ramper:
LoG-filteret må være større enn rampen.

- Rampen er bredere enn LoG-filteret,
=> Ingen nullgjennomgang, bare et null-platå.
- Ellers: Nullgjennomgang midt på rampen (kan få én 0-respons akkurat på midten), altså en fornuftig definisjon av kantskillet til rampen.
 - P.g.a. støy krever ofte at nullpasseringen er skarp
=> LoG-filteret må være betydelig større enn rampen.



- => **Velg kjerne- og filterstørrelsen med omhu!**

- Angis først og fremst av standardavviket til Gauss-funksjonen, som gir bredden av LoG-kjernen og antyder størrelsen av LoG-filteret.

F16 28.05.2013

INF2310

20

Ideen til Canny

- Lag en kantdetektor som er optimal i forhold til følgende tre kriterier:
 - Best mulig deteksjon (alle kanter og bare kanter)
 - God kant-lokalisering
 - Én enkelt respons
- Optimer ved bruk av et bilde med støy.
- Resultat: Følgende enkle algoritme oppnår nesten optimummet:

F16 28.05.2013

INF2310

21

Cannys algoritme

1. Lavpassfiltrer med Gauss-filter (med gitt σ).
2. Finn gradient-magnituden og gradient-retningen.
3. Tynning av gradient-magnitude ortogonalt på kant.
 - F.eks.: Hvis et piksel i gradient-magnitude-bildet har en 8-nabo i eller mot gradient-retningen med høyere verdi, så settes pikselverdien til 0.
4. Hysterese-terskling (to terskler, T_h og T_l):
 - a. Merk alle piksler der $g(x,y) \geq T_h$
 - b. For alle piksler der $g(x,y) \in [T_l, T_h]$:
 - Hvis (4 eller 8)-nabo til et merket piksel, så merkes dette pikselet også.
 - c. Gjenta fra trinn b til konvergens.

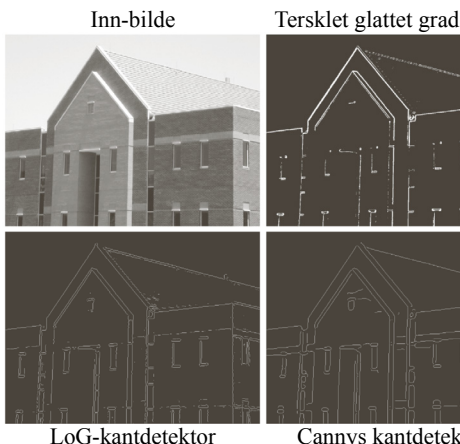
F16 28.05.2013

INF2310

22

Eksempel: Kantdeteksjon

- **Oppgave:** Finn fremtredende kanter.



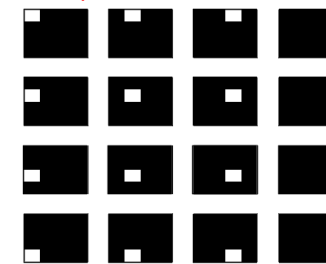
F16 28.05.2013

INF2310

23

Standardbasis for matriser

Eksempel: Standardbasis for 4x4



Undereksempl:

| | | | |
|---|---|---|---|
| 1 | 3 | 2 | 1 |
| 5 | 4 | 5 | 3 |
| 4 | 1 | 1 | 2 |
| 2 | 3 | 2 | 6 |

$$= 1 * \begin{matrix} & & & \\ & \blacksquare & & \\ & & & \\ & & & \end{matrix} + 3 * \begin{matrix} & & & \\ & & \blacksquare & \\ & & & \\ & & & \end{matrix} + \dots + 6 * \begin{matrix} & & & \\ & & & \blacksquare \\ & & & \\ & & & \end{matrix}$$

I bildene er
sort 0 og hvitt 1.

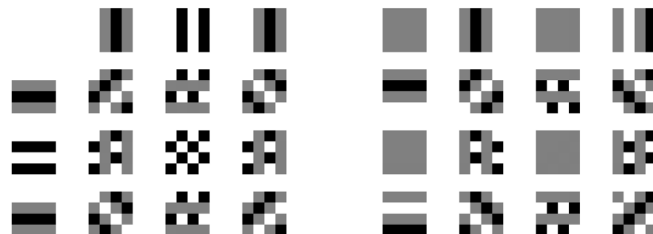
F16 28.05.2013

INF2310

24

Alternativ basis

- Det finnes mange andre baserer for matriser.
 - Muligheten til å unikt representere enhver matrise ligger i *basis*.
- 2D DFT** bruker én slik basis som er basert på **sinuser og cosinuser med forskjellige frekvenser**.
 - Disse sinusene og cosinusene er faste for en gitt bildestørrelsen ($M \times N$) og kan representeres som hver sin mengde av bilder:



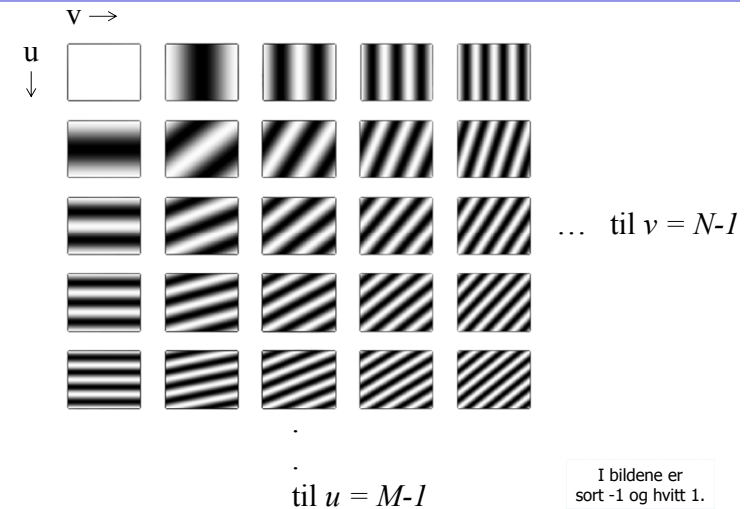
(i bildene er sort -1, grått er 0 og hvitt er 1)

F16 28.05.2013

INF2310

25

Cosinus-bilder for større bilder

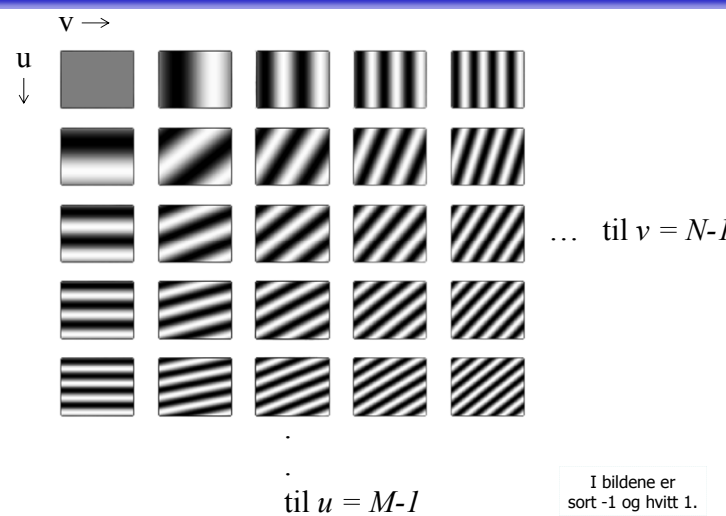


F16 28.05.2013

INF2310

26

Sinus-bilder for større bilder



F16 28.05.2013

INF2310

27

Beregning av 2D DFT for en gitt frekvens

- Koeffisienten til 2D DFT av tidligere eksempelbilde for frekvens (0,1):

$$\begin{matrix} 1 & 3 & 2 & 1 \\ 5 & 4 & 5 & 3 \\ 4 & 1 & 1 & 2 \\ 2 & 3 & 2 & 6 \end{matrix} \times \begin{matrix} 1 & 0 & -1 & 0 \\ 1 & 0 & -1 & 0 \\ 1 & 0 & -1 & 0 \\ 1 & 0 & -1 & 0 \end{matrix} = 2$$
- $\text{real}(F(0,1)) = \text{sum}(\begin{matrix} 1 & 3 & 2 & 1 \\ 5 & 4 & 5 & 3 \\ 4 & 1 & 1 & 2 \\ 2 & 3 & 2 & 6 \end{matrix} \times \begin{matrix} 1 & 0 & -1 & 0 \\ 1 & 0 & -1 & 0 \\ 1 & 0 & -1 & 0 \\ 1 & 0 & -1 & 0 \end{matrix}) = 2$
- $\text{imag}(F(0,1)) = \text{sum}(\begin{matrix} 1 & 3 & 2 & 1 \\ 5 & 4 & 5 & 3 \\ 4 & 1 & 1 & 2 \\ 2 & 3 & 2 & 6 \end{matrix} \times \begin{matrix} 0 & -1 & 0 & 1 \\ 0 & -1 & 0 & 1 \\ 0 & -1 & 0 & 1 \\ 0 & -1 & 0 & 1 \end{matrix}) = 1$
- Altså er $F(0,1) = 2+j$.

F16 28.05.2013

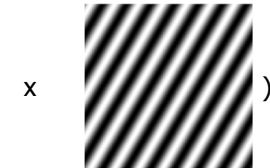
INF2310

28

Grunnleggende om 2D DFT

- $\text{real}(F(u,v)) = \text{sum}(\text{bildet} \times \text{punkt-multiplisert cosinus-bildet for frekvens } (u,v))$
- Tilsvarende for imaginærdelen og sinus-bildet.
- Hvert punkt** i 2D DFT-en beskriver altså noe ved **hele bildet**.

F16 28.05.2013



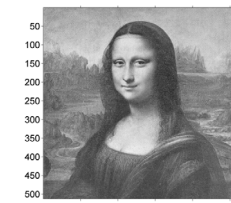
realdelen til
2D DFT-en i
frekvens (u,v)

= sum(bildet
multiplisert
cosinus-bildet
for frekvens
(u,v))

INF2310

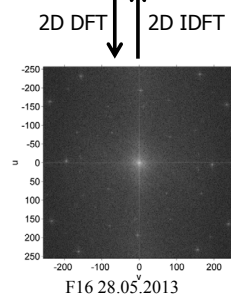
29

Eksempel: 5x5-middelverdifiltrering og konvolusjonsteoremet

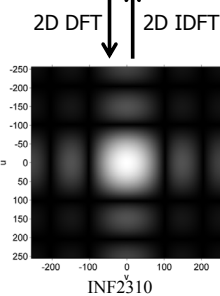
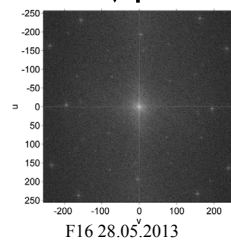


$$\frac{1}{25} \begin{bmatrix} 1 & 1 & 1 & 1 & 1 \\ 1 & 1 & 1 & 1 & 1 \\ 1 & 1 & 1 & 1 & 1 \\ 1 & 1 & 1 & 1 & 1 \\ 1 & 1 & 1 & 1 & 1 \end{bmatrix}$$

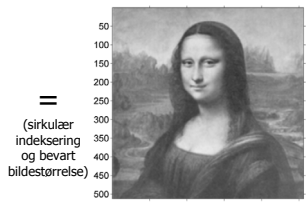
Nullutvidet til 512x512



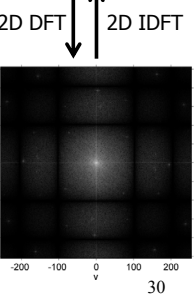
2D DFT ↓ 2D IDFT



2D DFT ↓ 2D IDFT



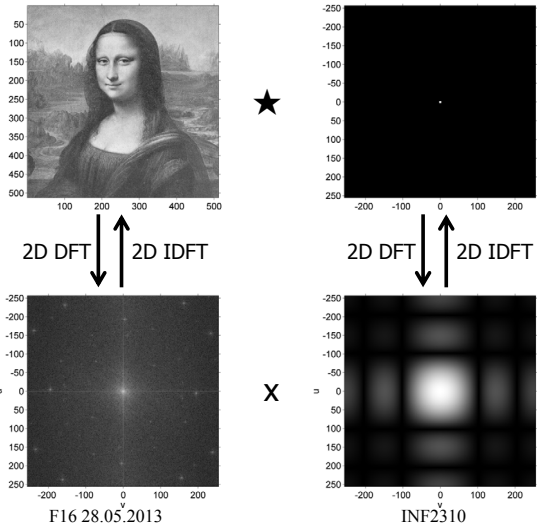
$$= \begin{matrix} \text{(sirkulær} \\ \text{indeksering} \\ \text{og bevert} \\ \text{bildestørrelse}) \end{matrix} \begin{matrix} 350 \\ 400 \\ 450 \end{matrix}$$



2D DFT ↓ 2D IDFT

30

Eksempel: 5x5-middelverdifiltrering og konvolusjonsteoremet



F16 28.05.2013

INF2310

31

Anvendelse av konvolusjonsteoremet

- Design av konvolusjonsfiltre med bestemte frekvensegenskaper.
 - Designe konvolusjonsfilteret i Fourier-domenet slik at vi har bedre kontroll på dets frekvensegenskaper.
- Analyse av konvolusjonsfiltre.
 - 2D DFT-en til et konvolusjonsfilter gir oss innblikk i hvordan filteret vil påvirke de forskjellig frekvenskomponentene.
- Rask implementasjon av større konvolusjonsfiltre.

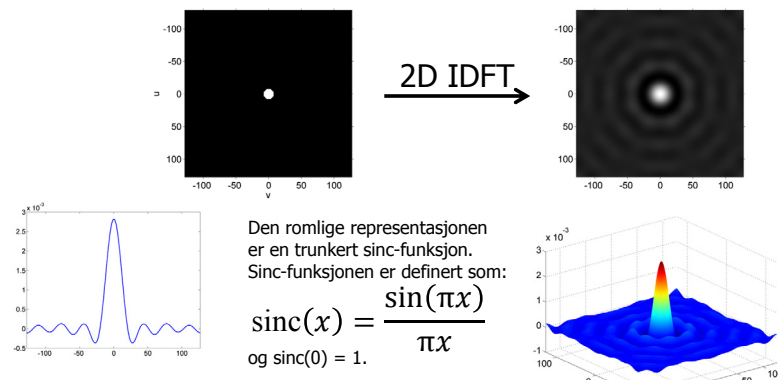
F16 28.05.2013

INF2310

32

Filter-design i Fourier-domenet

Romlig representasjon av ideelt lavpassfilter



F16 28.05.2013

INF2310

33

Eksempel: Ideelt lavpassfilter



I god nok oppløsning kan striper/ringinger sees ut fra markante kanter i de to filtrerte bildene. Det er dette vi kaller *ringing*.

F16 28.05.2013

INF2310

34

Gaussisk lavpassfilter

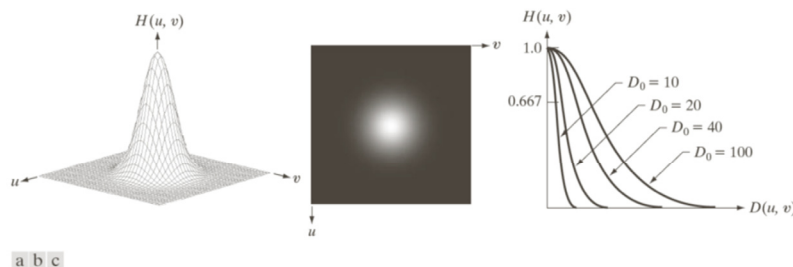


FIGURE 4.47 (a) Perspective plot of a GLPF transfer function. (b) Filter displayed as an image. (c) Filter radial cross sections for various values of D_0 .

Husk tommelfingerregelen:
Smal/bred struktur i bildet \Leftrightarrow Bred/små struktur i Fourier-spekteret

F16 28.05.2013

INF2310

35

Butterworth lavpassfilter

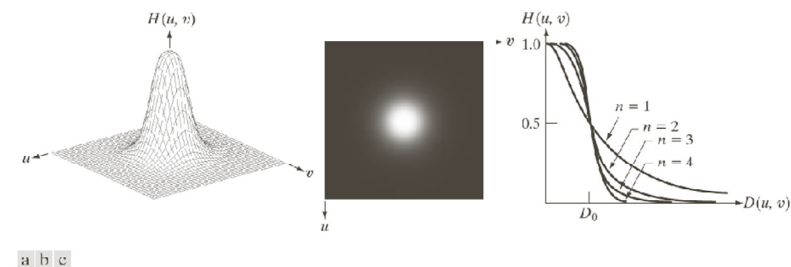


FIGURE 4.44 (a) Perspective plot of a Butterworth lowpass-filter transfer function. (b) Filter displayed as an image. (c) Filter radial cross sections of orders 1 through 4.

F16 28.05.2013

INF2310

36

Eksempel: Butterworth lavpassfilter



$$D_0 = 0.2\min\{M, N\}/2 \text{ i alle filtreringene.}$$

F16 28.05.2013

INF2310

37

Analyse av filtre

h_y i Prewitt-operatoren (en gradientoperator)

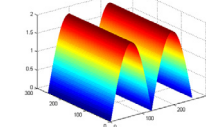
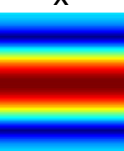
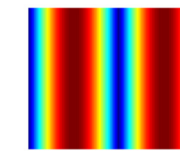
$$\begin{array}{|c|c|c|} \hline 1 & 0 & -1 \\ \hline \end{array}$$

★

$$\begin{array}{|c|} \hline 1 \\ \hline 1 \\ \hline 1 \\ \hline \end{array}$$

=

$$\begin{array}{|c|c|c|} \hline 1 & 0 & -1 \\ \hline 1 & 0 & -1 \\ \hline 1 & 0 & -1 \\ \hline \end{array}$$



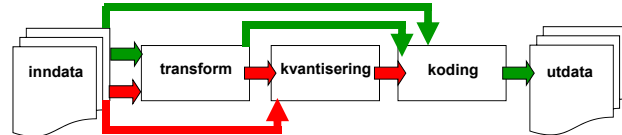
F16 28.05.2013

INF2310

38

Kompressjon

- Kompressjon kan deles inn i tre steg:
 - Transform** - representer bildet mer kompakt.
 - Kvantisering** - avrunding av representasjonen.
 - Koding** - produksjon og bruk av kodebok.
- Kompressjon kan gjøres:
 - Eksakt / tapsfri** (eng.: *lossless*) – følg de grønne pilene.
 - Her kan vi rekonstruere den originale bildet eksakt.
 - Ikke-tapsfri** (eng.: *lossy*) – følg de røde pilene.
 - Her kan vi ikke rekonstruere bildet eksakt.
 - Resultatet kan likevel være «godt nok».
- Det finnes en mengde ulike metoder for begge kategorier.



F16 28.05.2013

INF2310

39

Ulike typer redundans

- Psykovisuell** redundans. → Mer generelt: **Irrelevant informasjon**: Unødvendig informasjon for anvendelsen, f.eks. for visuell betrakting av hele bildet.
 - Det finnes informasjon vi ikke kan se.
 - Enkle muligheter for å redusere redundansen: Subsample eller redusere antall biter per piksel.
- Interbilde**-redundans.
 - Likhet mellom nabobilder i en tidssekvens.
 - Kode noen bilder i tidssekvensen og ellers bare differanser.
- Intersampel**-redundans.
 - Likhet mellom nabopiksler.
 - Hver linje i bildet kan løpelengde-transformeres.
- Kodings**-redundans.
 - Gjennomsnittlig kodelengde minus et teoretisk minimum.
 - Velg en metode som er "grei" å bruke og gir liten kodingsredundans.

F16 28.05.2013

INF2310

40

Kompressjonsrate og redundans

- Kompressjonsraten:**

$$CR = \frac{i}{c}$$

der i er antall bit per sampel originalt, og c er antall bit per sampel i det komprimerte bildet.

- Relativ redundans:**

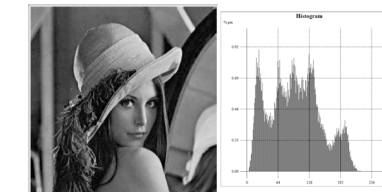
$$R = 1 - \frac{1}{CR} = 1 - \frac{c}{i}$$

- «Percentage removed»:**

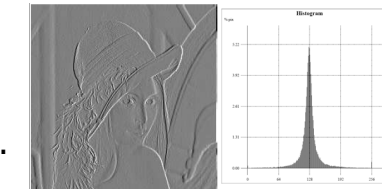
$$PR = 100 \left(1 - \frac{c}{i} \right) \%$$

Differansetransform

- Gitt en rad i bildet med gråtoner: f_1, \dots, f_N der $0 \leq f_i \leq 2^b - 1$



- Transformer (reversibelt) til $g_1 = f_1, g_2 = f_2 - f_1, \dots, g_N = f_N - f_{N-1}$



- Merk at: $-(2^b - 1) \leq g_i \leq 2^b - 1$
- Trenger derfor $b+1$ biter per g_i hvis vi skal tilordne like lange kodeord til alle mulig verdier.
- I differansehistogrammet vil de fleste verdiene samle seg rundt 0.
- Naturlig binærkoding av differansene er ikke optimal.

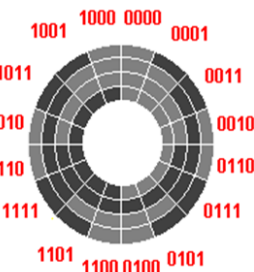
Løpelengde-transform

- Ofte inneholder bildet objekter med lignende gråtoner, f.eks. svarte bokstaver på hvit bakgrunn.
- Løpelengde-transformen (eng.: *run-length transform*) prøver å utnytte at **nabopiksler på samme rad ofte er like**.
 - Kompressjonen blir dårlig hvis dette ikke er tilfelle i det aktuelle bildet.
 - Løpelengde-transformen blir mer effektiv ettersom kompleksiteten i bildet blir mindre.
- Løpelengde-transformen er reversibel.
- Hvis pikselverdiene til en rad er:
3333335555555544777777 (24 tall)
- Så starter løpelengde-transformen fra venstre og finner tallet 3 gjentatt 6 ganger etter hverandre, og returnerer derfor tallparet (3,6). **Formatet er: (tall, løpelengde)**
- For hele sekvensen vil løpelengdetransformen gi de 4 tallparene: (3,6), (5,10), (4,2), (7,6) (merk at dette bare er 8 tall)
- Kodingen avgjør hvor mange biter vi bruker for å lagre tallene.

Eksempel: Gray-koding

4-biters Gray- og naturlig binærkode:

| Gray-kode | Naturlig binær- | Desimal- |
|-----------|-----------------|----------|
| | tall | tall |
| 0000g | 0000b | 0d |
| 0001 | 0001 | 1 |
| 0011 | 0010 | 2 |
| 0010 | 0011 | 3 |
| 0110 | 0100 | 4 |
| 0111 | 0101 | 5 |
| 0101 | 0110 | 6 |
| 0100 | 0111 | 7 |
| 1100 | 1000 | 8 |
| 1101 | 1001 | 9 |
| 1111 | 1010 | 10 |
| 1110 | 1011 | 11 |
| 1010 | 1100 | 12 |
| 1011 | 1101 | 13 |
| 1001 | 1110 | 14 |
| 1000 | 1111 | 15 |



«Gray code shaft encoder»
Brukes for sikker avlesing av vinkel,
f.eks. i styring av robot-armar.

Koden patentert av Gray i 1953, men ble
brukt i Emilie Baudot's telegrafkode fra 1870.

Entropi

- Tar vi gjennomsnittet over alle symbolene s_i i alfabetet, får vi gjennomsnittlig informasjon per symbol.

$$H = \sum_{i=0}^{2^b-1} p(s_i)I(s_i) = -\sum_{i=0}^{2^b-1} p(s_i)\log_2(p(s_i))$$

- H er entropien til sekvensen av symbolene.
- Entropien setter en nedre grense for hvor kompakt sekvensen kan representeres.**
 - Gjelder bare hvis vi koder hvert symbol for seg.

F16 28.05.2013

INF2310

45

Huffman-koding

- Huffman-koding er en algoritme for variabel-lengde koding som er **optimal** under begrensningen at vi **koder symbol for symbol**.
 - Med *optimal* menes her minst mulig kodings-redundans.
- Antar at vi kjenner hyppigheten for hvert symbol.
 - Enten spesifisert som en modell.
 - Huffman-koden er da optimal hvis modellen stemmer.
 - Eller så kan vi bruke symbol-histogrammet til sekvensen.
 - Huffman-koden er da optimal for sekvensen.
 - Ofte bruker vi sannsynlighetene i stedet, men vi kunne likegott benyttet hyppigheten.

F16 28.05.2013

INF2310

46

Eksempel: Huffman-koding

- La oss finne Huffman-koden til modellen som består av følgende seks begivenheter med sannsynligheter:

| Begivenhet | A | B | C | D | E | F |
|---------------|-----|-----|------|------|-----|------|
| Sannsynlighet | 0,3 | 0,3 | 0,13 | 0,12 | 0,1 | 0,05 |

Slå sammen de to gruppene som har minst sannsynlighet, Den nye gruppens sannsynlighet er summen av de forrige. 0,15

Finn de to som nå har minst sannsynlighet, og slå dem sammen på samme måte. 0,25

Fortsett til det er bare to igjen. 0,6

F16 28.05.2013

INF2310

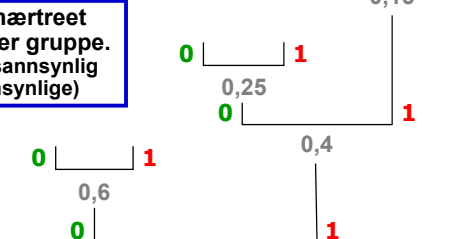
47

Eksempel: Huffman-koding

- La oss finne Huffman-koden til modellen som består av følgende seks begivenheter med sannsynligheter:

| Begivenhet | A | B | C | D | E | F |
|---------------|-----|-----|------|------|-----|------|
| Sannsynlighet | 0,3 | 0,3 | 0,13 | 0,12 | 0,1 | 0,05 |

Gå baklengs gjennom binærtreet og tilordne 0 eller 1 til hver gruppe. (F. eks. kode 0 til den mest sannsynlig og kode 1 til den minst sannsynlige)



F16 28.05.2013

INF2310

48

Eksempel: LZW-koding

- Alfabetet: a, b og c med koder 0, 1 og 2, henholdsvis.
- Meldingen: ababcbababaaaabab (18 symboler)
- LZW-sender: ny streng = **sendt streng pluss neste usendte symbol**
- LZW-mottaker: ny streng = **nest siste streng pluss første symbol i sist tilsendte streng**

| Ser | Sender | Senders liste | Mottar | Tolker | Mottakers liste |
|-----|--------|---------------|--------|--------|-----------------|
| | | a=0, b=1, c=2 | | | a=0, b=1, c=2 |
| a | 0 | ab=3 | 0 | a | |
| b | 1 | ba=4 | 1 | b | ab=3 |
| ab | 3 | abc=5 | 3 | ab | ba=4 |
| c | 2 | cb=6 | 2 | c | abc=5 |
| ba | 4 | bab=7 | 4 | ba | cb=6 |
| bab | 7 | baba=8 | 7 | | |

» Vi mottar kode 7, men denne koden finnes ikke i listen!
 » Fra ny-streng-oppskriften vet vi at kode 7 ble laget ved: ba + ?
 » Siden kode 7 nå sendes, må: ? = b => 7 = ba + b = bab

Eksempel: Representasjon av intervall

- Finn kortest mulig $N=0.c_1c_2c_3\dots_2$ innenfor intervallet [0,6, 0,7).
- Hvis $n \geq k$ så er:

$$2^{-k+1} = 2^{-(k-1)} > c_k 2^{-k} + \dots + c_n 2^{-n}$$
 siden c_i er 0 eller 1.
- Derfor er:

$$N = 0.\underline{1}\dots_2 \Rightarrow 0,5 \leq N < 1$$

$$N = 0.\underline{10}\dots_2 \Rightarrow 0,5 \leq N < 0,75$$

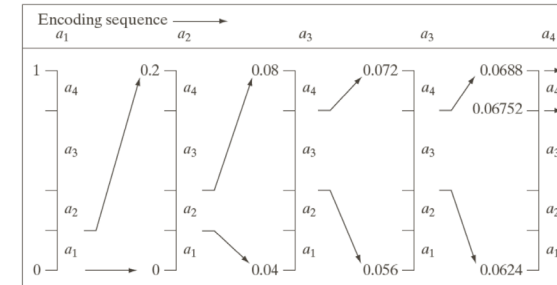
$$N = 0.\underline{100}\dots_2 \Rightarrow 0,5 \leq N < 0,625$$

$$N = 0.\underline{101}\dots_2 \Rightarrow 0,625 \leq N < 0,75$$
- => Intervall kan kodes ved det binære kommatallet 0,**101₂**
 (ekvivalent med $0,625_{10}$), altså med bare 3 biter.
 - Hvis vi vil kreve at øvre og nedre grense er innenfor intervallet;
 intervallet kan kodes ved 0,1010₂ fordi:

$$N = 0.\underline{1010}\dots_2 \Rightarrow 0,625 \leq N < 0,6875$$

Eksempel: Aritmetisk koding

- Sannsynlighetsmodell: $P(a_1)=P(a_2)=P(a_4)=0,2$ og $P(a_3)=0,4$
- Melding/symbolsekvens: $a_1a_2a_3a_3a_4$



- a_1 ligger i intervallet [0, 0,2)
- a_1a_2 ligger i intervallet [0,04, 0,08)
- $a_1a_2a_3$ ligger i intervallet [0,056, 0,072)
- $a_1a_2a_3a_3$ ligger i intervallet [0,0624, 0,0688)
- $a_1a_2a_3a_3a_4$ ligger i intervallet [0,06752, 0,0688)

Ikke-tapsfri JPEG-kompresjon

- Hver bildekanal deles opp i blokker på 8x8 piksler, og hver blokk i hver kanal kodes separat.
- Dersom intensitetene er gitt uten fortegn; trekk fra 2^{b-1} der 2^b er antall intensitetsverdier.
 - Gjør at forventet gjennomsnittlig pikselverdi er omrent 0.
 - Eks.: Intensitetsintervallet [0, 255]; 128 trekkes fra alle pikselverdiene.
- Hver blokk transformeres med 2D DCT (diskret cosinus-transform).



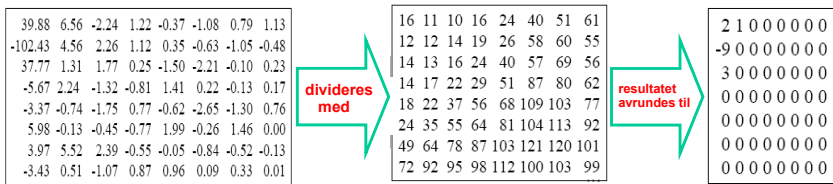
- Mye av informasjonen i de 64 pikslene samles i en liten del av de 64 2D DCT-koeffisientene; nemlig de i øverste, venstre hjørne.

Ikke-tapsfri JPEG-kompresjon

JPEG-kompresjonsalgoritmen fortsetter med at:

4. 2D DCT-koeffisientene:

- punktdivideres med en vektmatrise og deretter
- kvantiseres til heltall.



F16 28.05.2013

INF2310

53

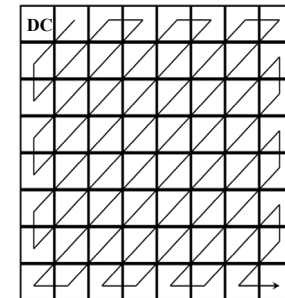
Ikke-tapsfri JPEG-kompresjon

DC- og AC-elementene behandles nå separat.

AC-elementene:

1. Sikk-sakk-skannes:

- Ordner elementene i en 1D-følge.
- Absoluttverdien av elementene vil stort sett avta utover i følgen.
- Mange koeffisienter er null, spesielt litt ute i følgen.



2. «Løpelengdetransform» av 1D-følgen.

- Et «løpelengdepar» er her (antall 0-ere, antall biter i «ikke-0»).
- «Løpelengdeparene» Huffman- eller aritmetisk kodes.
- Både predefinerte og egendefinerte Huffman-kodebøker tillates.

F16 28.05.2013

INF2310

54

Ikke-tapsfri JPEG-kompresjon

DC- og AC-elementene behandles nå separat.

DC-elementene:

- For hver kanal samles DC-elementene fra alle blokkene.
- Disse er korrelerte og blir derfor differansetransformert.
- Differansene Huffman-kodes eller aritmetisk kodes.

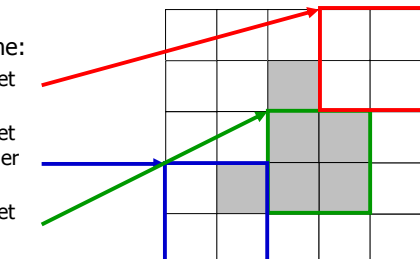
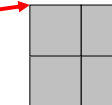
F16 28.05.2013

INF2310

55

Tre sentrale begrep

- Et **strukturelement** for et binært bilde er et **naboskap**.
 - Typisk definert ved en binær matrise der 1 markerer med i naboskapet.
- Når vi fører strukturelementet over det binære bildet vil vi finne:
 - Posisjoner der strukturelementet ikke overlapper objektet.
 - Posisjoner der strukturelementet delvis overlapper objektet, vi sier at elementet **treffer** objektet.
 - Posisjoner der strukturelementet ligger inni objektet, vi sier at elementet **passer** i objektet.



I figurene markerer grått med i mengden (forgrunnspiksel), og hvitt ikke med.

F16 28.05.2013

INF2310

56

Anvendelse av erosjon: Kantdeteksjon

- Eroding fjerner piksler langs omrisset av et objekt.
- Vi kan finne kantene av objektene i bildet ved å subtrahere et erodert bilde fra originalbildet: $\mathbf{g} = \mathbf{f} - (\mathbf{f} \ominus \mathbf{S})$
- Strukturelementet avgjør 4- eller 8-tilkoblet:

| Et bilde | erodert med | gir | => | differanse |
|-----------------------------|-------------|--|----|--|
| | | 000000000000 001111011100 010000100100 010010000100 | | 00111101110 01000010010 01001000010 |
| | 0 1 0 | 00110111100 01100111100 100101000010 | | 01001000010 01000000010 |
| | 1 1 1 | 00110111110 00111111100 011100000100 | | 01110000010 00000111000 |
| 0 0 1 1 1 1 0 1 1 1 1 0 0 | 0 1 0 | 000000111000 000000000000 | | 000000111000 000000000000 |
| 0 1 1 1 1 1 1 1 1 1 1 0 0 | 1 1 1 | 000000000000 000110001000 011001110000 001000011100 | | 001111011100 010000100100 010010000100 011100000100 |
| 0 1 1 1 1 1 1 1 1 1 1 1 1 0 | 1 1 1 | 000000000000 000110001000 011001110000 001000011100 | | 001111011100 010000100100 010010000100 011100000100 |
| 0 0 0 0 0 1 1 1 0 0 0 | 1 1 1 | 000000000000 000110001000 011001110000 001000011100 | | 000000111000 000000000000 |

Sammenhengende kanter dersom man bruker 8-tilkobling

Sammenhengende kanter ved bruk av 4-tilkobling

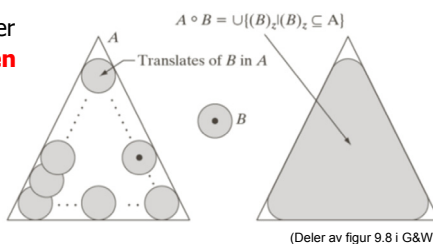
F16 28.05.2013

INF2310

57

Geometrisk tolkning av åpning

- Tenk at strukturelementet definerer **størrelsen og formen til spissen av en tusjpenn**.
- Det er bare tillatt å **fargelegge innenfor objekter**.
 - Et par detaljer: Man må holde tusjen vinkelrett på tegneflaten og med samme rotasjon som strukturelementet.
- Åpningen er resultatet av å fargelegge så mye man har lov til.**
- For runde strukturelementer: Konvekse hjørner blir avrundet, konkave hjørner beholdes rette.
 - Akkurat som ved dilasjon (skyldes at enhver åpning avsluttes med en dilasjon).



Åpning er idempotent:
 $(f \circ S) \circ S = f \circ S$
 d.v.s. at gjentatte anvendelser med samme strukturelement gir ingen endring.

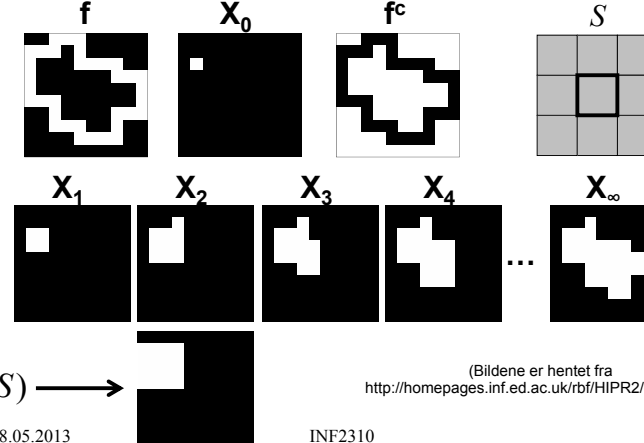
F16 28.05.2013

INF2310

59

Anvendelse av dilasjon: Region-fylling

- La X_0 inneholde et punkt i regionen som skal fylles.
- Deretter iterer $X_k = (X_{k-1} \oplus S) \cap f^c$ inntil konvergens:



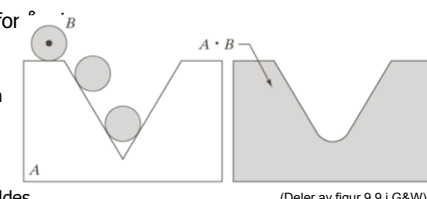
F16 28.05.2013

INF2310

58

Geometrisk tolkning av lukking

- Vi kan benytte **samme metafor** som for $A \bullet B$.
 - Strukturelementet definerer størrelsen og formen til spissen av en tusjpenn.
 - Man holder tusjen vinkelrett tegneflaten og fargelegger så mye man har lov til.
- Denne gangen** er det bare tillatt å **fargelegge utenfor objekter**.
 - En detalj: Denne gangen skal tusjen holdes speilvendt (180° rotert) av strukturelementet.
- Lukkingen er det som ikke fargelegges**.
 - Denne gangen fargelegger vi altså bakgrunnen, sist fargela vi forgrunnen.
- For runde strukturelementer:
 - Konkave hjørner blir avrundet, konvekse hjørner beholdes rette.
 - Akkurat som ved erosjon (skyldes at enhver lukking avsluttes med en dilasjon).



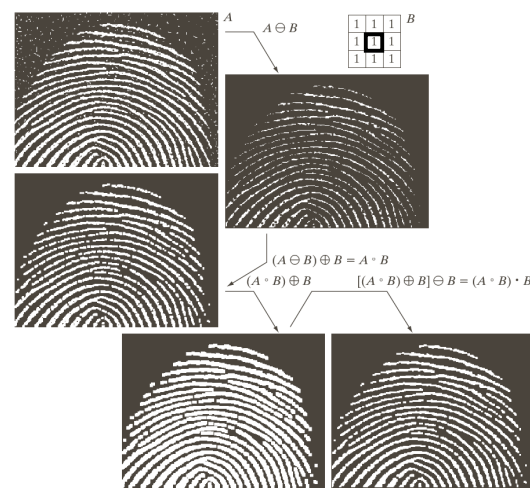
Også lukking er idempotent:
 $(f \bullet S) \bullet S = f \bullet S$

F16 28.05.2013

INF2310

60

Eksempel: Filtrering ved åpning og lukking



F16 28.05.2013

INF2310

61

Morfologisk rekonstruksjon

- Tidligere: Bilde f og strukturelement S
- Nå: Markørbilde F (startpunktene), maskebilde G og et strukturelement B som definerer tilkoblingstypen

- **Morfologisk rekonstruksjon ved dilasjon:**

$$F^k = (F^{k-1} \oplus B) \cap G$$

der $F^0 = F$.

- Med ord: Iterativt dilater F med B, og begrens resultatet med G, inntil ingen endring.

- Anvendelser:

- Region-fylling (fire slides siden).
- Helautomatisk hullfylling.
- Kantrydding.
- Åpning ved rekonstruksjon.

F16 28.05.2013

INF2310

62